

JOURNAL OF ELECTRICAL, ELECTRONIC, CONTROL AND AUTOMOTIVE ENGINEERING (JEECAE)

Homepage jurnal: http://journal.pnm.ac.id/

SISTEM ANALISA KERUSAKAN JALAN MENGGUNAKAN METODE SURFACE DISTRESS INDEX (SDI)

Haninditio Bagus Septiansyah¹, Sulfan Bagus Setyawan^{2*}, Hanum Arrosida³, Denny Hardiyanto⁴, Aulia El Hakim⁵, Adji Barru Prasetiyo⁶

1,2,3,4,5,6 Politeknik Negeri Madiun, Indonesia *Email Responden: sulfan@pnm.ac.id

ABSTRAK

Kecelakaan lalu lintas merupakan penyebab kematian dengan tingkat fatalitas tinggi melibatkan kendaraan bermotor bertabrakan dengan benda lain sehingga mengakibatkan kerusakan hingga korban jiwa. Salah satu penyebab kecelakaan lalu lintas adalah kerusakan jalan yang tidak mendapatkan perawatan dan penanganan. Kerusakan jalan juga memiliki dampak negatif terhadap aktivitas masyarakat baik ekonomi dan non ekonomi serta, ketidaknyamanan dalam berkendara, serta peningkatan emisi gas. Untuk menekan angka kecelakaan dan dampak negatif yang ditimbulkan oleh kerusakan jalan, telah dikembangkan beberapa sistem terkait informasi dan pemetaan kerusakan jalan, namun masih memiliki beberapa kekurangan diantaranya *input* data manual dan tidak terdapat analisis kerusakan jalan. Berdasarkan permasalahan tersebut diperlukan sebuah sistem yang dapat menganalisis berdasarkan data yang masuk pada *database*. Oleh karena itu penulis mengusulkan Sistem Analisa Kerusakan Jalan Menggunakan Metode *Surface Distress Index (SDI)*. Pada sistem *website* terdapat fitur yang akan memudahkan Dinas Pekerjaan Umum dalam monitoring data kerusakan jalan seperti analisis data berdasarkan hasil deteksi dan estimasi area. Analisis kerusakan jalan menggunakan metode *Surface Distress Indeks* dengan hasil indeks <50 kondisi baik dan membutuhkan penanganan rutin, indeks 50-100 kondisi sedang dan membutuhkan penanganan rutin, indeks 100-150 kondisi rusak ringan dan membutuhkan penanganan berkala, indeks >150 kondisi rusak berat dan membutuhkan penanganan rekonstruksi atau peningkatan.

Kata kunci: Kerusakan Jalan, Surface Distress Index, Data

I. PENDAHULUAN

Indonesia, sebagai negara dengan pertumbuhan penduduk yang pesat, menghadapi tantangan serius dalam hal kepadatan arus lalu lintas. Jumlah kendaraan yang terus meningkat setiap tahunnya tidak sebanding perkembangan sarana dan prasarana jalan. Hal ini diperparah rendahnya kesadaran berkendara, meningkatkan risiko terjadinya kecelakaan lalu lintas. Selain faktor manusia, kondisi infrastruktur jalan yang rusak juga menjadi salah satu penyebab utama kecelakaan. Berdasarkan data Korlantas Polri tahun 2021, tercatat sebanyak 103.645 kasus kecelakaan lalu lintas. Di wilayah hukum Polda Metro Jaya saja, terdapat 40 kasus kecelakaan yang disebabkan oleh kondisi jalan, termasuk jalan rusak, berlubang, licin, tidak adanya rambu, dan tikungan tajam, dengan total kerugian mencapai lebih dari satu miliar rupiah [1].

Kerusakan jalan memberikan dampak negatif yang signifikan, baik dari sisi keselamatan, kenyamanan, maupun ekonomi. Jalan berlubang, tidak rata, atau minim penerangan dapat membahayakan pengendara, khususnya pada malam hari.

Selain itu, jalan rusak menyebabkan konsumsi bahan bakar lebih boros, mempercepat kerusakan kendaraan, serta menghambat aktivitas ekonomi masyarakat di sekitarnya. Kenyamanan berkendara pun menurun akibat kebisingan, polusi, dan genangan air yang mempercepat kerusakan lingkungan sekitar. Oleh karena itu, diperlukan sistem pemeliharaan dan pengelolaan jalan yang lebih efisien untuk mengurangi dampak negatif tersebut.

p-ISSN: 2541-0288

e-ISSN: 2528-0708

Upaya penanganan kerusakan jalan memerlukan proses survei yang akurat dan cepat agar instansi terkait dapat segera melakukan tindakan. Namun, berdasarkan hasil diskusi dengan Kepala Unit Pelaksana Teknis Pengelolaan Jalan dan Jembatan Dinas Pekerjaan Umum Kabupaten Madiun, diketahui bahwa proses survei di daerah tersebut masih menggunakan jasa konsultan dan dilakukan secara manual, yang dinilai kurang efektif serta membutuhkan waktu lama untuk memperoleh hasil analisis kerusakan jalan.

Sejumlah penelitian telah dilakukan untuk mengatasi permasalahan ini. Di antaranya, penggunaan sensor IMU untuk deteksi lubang jalan [2], metode deep learning untuk

mendeteksi lubang jalan [3], serta pengembangan sistem informasi kerusakan jalan [4,5]. Namun, masih banyak keterbatasan yang ditemukan, seperti ketergantungan pada input manual, belum menggunakan data citra, atau belum mampu melakukan analisis mendalam terhadap tingkat kerusakan. Penelitian lain menggunakan metode image processing [6] hanya mampu mendeteksi, tetapi belum menganalisis. Adapun penelitian Muhaimin dkk[7] yang menggunakan metode Surface Distress Index (SDI) masih dilakukan secara manual. Sementara itu, Setyawan dkk. [8] mengusulkan deteksi kerusakan jalan secara realtime dengan memanfaatkan transfer learning pada perangkat Nvidia Jetson Nano, yang mampu melakukan klasifikasi kerusakan jalan menjadi kategori pothole dan crack secara langsung di lapangan.

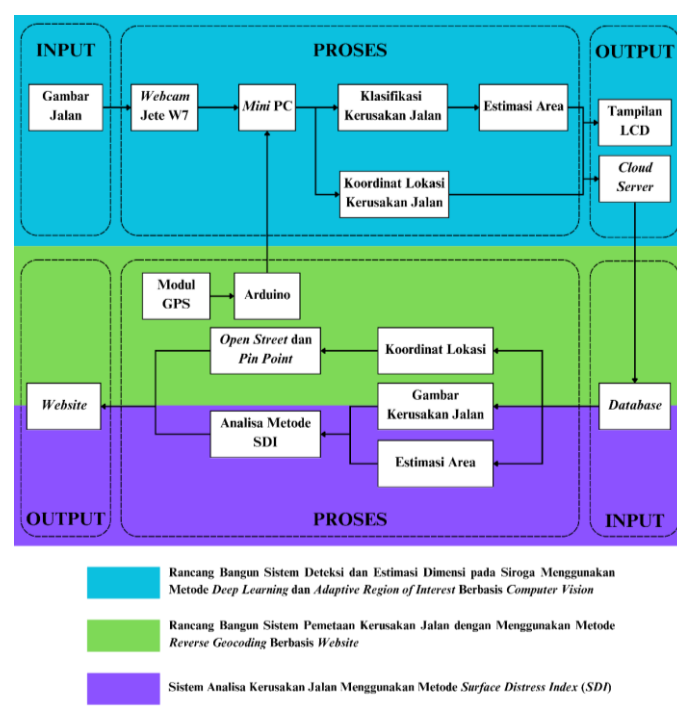
Berdasarkan berbagai permasalahan dan keterbatasan penelitian sebelumnya, penulis mengusulkan penelitian dengan judul "Sistem Analisa Kerusakan Jalan Menggunakan Metode Surface Distress Index (SDI)". Sistem ini dirancang untuk menerima input berupa gambar dan estimasi area kerusakan yang dikirimkan melalui metode POST menggunakan protokol HTTP ke server database. Selanjutnya, data tersebut akan dianalisis menggunakan metode SDI[9]. Dengan adanya sistem ini, diharapkan proses identifikasi dan analisis kerusakan jalan dapat dilakukan secara otomatis, akurat, dan efisien, sehingga instansi terkait dapat segera melakukan tindakan perbaikan dan menekan angka kecelakaan lalu lintas akibat kondisi jalan yang membahayakan.

II. METODOLOGI

Pada bagian ini akan menjelaskan tentang diagram blok sistem, prinsip kerja alat, serta *flowchart* sistem deteksi dan estimasi dimensi kerusakan jalan, serta teknik untuk menganalisa data.

A. Diagram Blok Sistem

Pada Gambar 1 akan ditunjukkan blok diagram dari sistem deteksi dan estimasi dimensi kerusakan jalan berbasis *computer vision*.



p-ISSN: 2541-0288

e-ISSN: 2528-0708

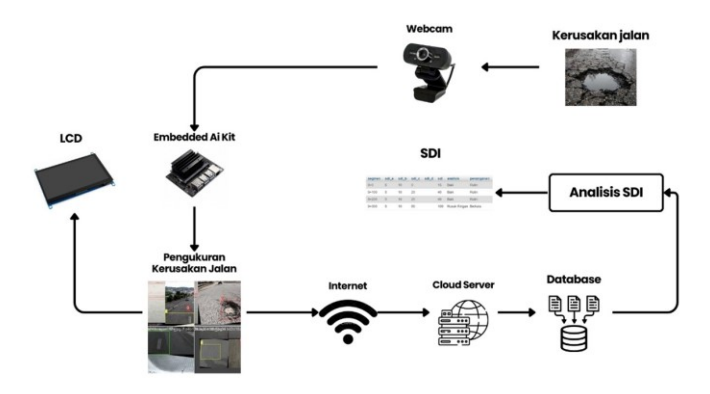
Gambar 1. Diagram Blok Sistem

Gambar 1 merupakan diagram sistem dari penelitian ini yang terdiri deteksi dan analisis kerusakan jalan. Penulis membuat bagian sistem pemetaan dan analisis dari Gambar 1 dibagi menjadi tiga bagian yaitu:

- 1. Pada bagian hardware, input Modul GPS berfungsi sebagai penerima sinyal yang akan dikonversi pada Arduino Uno yang menghasilkan koordinat lokasi kerusakan jalan. Output berupa koordinat lokasi akan disimpan pada database yang berisi data latitude dan longitude kerusakan jalan. Koordinat lokasi yang telah disimpan pada database selanjutnya akan dikonversi menjadi pin point dan ditampilkan pada Open Street Maps yang dilengkapi dengan gambar dan keterangan dari kerusakan jalan.
- 2. Pada bagian software, input sistem dimulai dengan mengambil data dari database berupa koordinat lokasi, gambar kerusakan jalan, dan estimasi area berupa panjang jalan, lebar jalan , panjang retak, lebar retak, dan jumlah lubang pada suatu segmen ruas jalan yang telah dideteksi. Data koordinat lokasi akan diolah menggunakan metode reverse geocoding yang akan mengubah latitude dan longitude untuk ditampilkan pada open street maps berupa pin point lokasi kerusakan jalan. Kemudian data estimasi akan diolah menggunakan penilaian metode SDI berdasarkan luas keretakan dalam satu segmen jalan, lebar keretakan, dan jumlah lubang yang akan ditampilkan pada website berupa tabel hasil analisis.

B. Prinsip Kerja Sistem

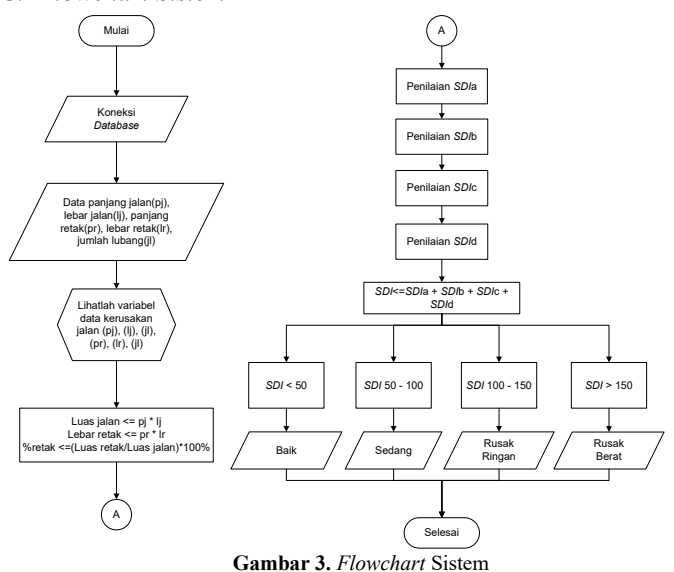
Pada Gambar 2 akan ditunjukkan prinsip kerja dari sistem dari Sistem Analisa Kerusakan Jalan Menggunakan *Metode Surface Distress Index (SDI)*.



Gambar 2. Prinsip Kerja Alat

Pada Gambar 2 terdapat penjelasan mengenai sistem deteksi kerusakan jalan dimulai dengan webcam yang akan menangkap gambar kerusakan jalan berdasarkan pembagian segmen yang dilakukan pada sistem deteksi kemudian diolah oleh mini PC untuk diklasifikasikan berdasarkan jenis kerusakan jalan dan dilakukan proses estimasi area kerusakan jalan menggunakan konversi nilai pada bounding box. Hasil deteksi dan pengukuran akan dikirimkan pada cloud server saat tersedia koneksi internet. Dari hasil pengukuran didapatkan data berupa panjang jalan, lebar jalan, panjang retak, lebar retak, dan jumlah lubang yang akan dilakukan analisa kerusakan jalan menggunakan metode SDI.

C. Flowchart Sistem



Pada Gambar 3 ditunjukkan *flowchart* sistem untuk menganalisa kerusakan jalan menggunakan metode *SDI* Dimulai pengambilan data dari database, berisi informasi mengenai panjang dan lebar jalan, panjang serta lebar keretakan, dan jumlah lubang pada permukaan jalan. Setelah data diambil, sistem melakukan perhitungan luas total jalan dan luas area kerusakan berdasarkan parameter yang tersedia. Selanjutnya, dilakukan perhitungan persentase kerusakan untuk menentukan sejauh mana kondisi permukaan jalan mengalami kerusakan pada tiap segmennya. Tahap berikutnya adalah proses analisis menggunakan metode Surface Distress Index (SDI), yang mengukur tingkat kerusakan melalui empat

indikator utama, yaitu: luas retak (SDIa), lebar retak (SDIb), jumlah lubang (SDIc), dan kedalaman alur bekas roda (SDId). Setiap indikator dihitung berdasarkan kondisi aktual yang terdeteksi di setiap segmen jalan. Nilai-nilai dari keempat indikator tersebut kemudian dijumlahkan untuk memperoleh total skor SDI. Berdasarkan skor total ini, sistem akan mengklasifikasikan kondisi kerusakan dan tipe penanganan yang diperlukan sesuai dengan Panduan Survei Kondisi Jalan SMD-03/RCS ditunjukkan pada Tabel 1 - 4.

p-ISSN: 2541-0288

e-ISSN: 2528-0708

Tabel 1. Penilaian Persentase Luas Retak

Nomor	Luas Retak	Nilai <i>SDI</i> a
1	Tidak ada	-
2	<10%	5
3	10-30%	20
4	>30%	40

Tabel 2. Penilaian Lebar Retak

Nomor	Lebar Retak	Nilai <i>SDIb</i>
1	Tidak ada	-
2	Lebar < 1 cm	-
3	Lebar 1-3 cm	-
4	Lebar > 3 cm	Hasil SDIa*2

Tabel 3. Penilaian Jumlah Lubang

Nomor	Jumlah Lubang/Segmen	Nilai SDIc
1	Tidak ada	-
2	<10 per segmen	Hasil <i>SDI</i> b + 15
3	10-50 per segmen	Hasil <i>SDI</i> b + 75
4	>50 per segmen	Hasil <i>SDI</i> b + 225

Tabel 4. Penilaian Alur Bekas Roda

Nomor	Alur Bekas Roda	Nilai SDId
1	Tidak ada	-
2	<1 cm	Hasil $SDIc + 5 \times 0.5$
3	1-3 cm	Hasil $SDIc + 5 \times 2$
4	>3 cm	Hasil SDIc + 20

Tabel 5. Kondisi dan Tipe Penanganan Berdasarkan Indeks

Kondisi Jalan	Indeks	Tipe Penanganan				
Baik	< 50	Pemeliharaan Rutin				
Sedang	50-100	Pemeliharaan Rutin				
Rusak Ringan	100-150	Pemeliharaan Berkala				
Rusak Berat	>150	Peningkatan/Rekonstruksi				

III. HASIL DAN ANALISA

Pada bab ini dijelaskan mengenai hasil dan pembahasan Tugas Akhir yang berjudul " Sistem Analisa Kerusakan Jalan Menggunakan Metode *Surface Distress Index (SDI)*" setelah melalui beberapa tahapan seperti perancangan sistem, pengujian, pengambilan data, hingga proses analisis data

A. Pengujian Pengiriman Data Gambar dan Hasil Estimasi Kerusakan Jalan Menggunakan Internet of Things (IoT)

Pengiriman data gambar dan hasil estimasi dilakukan menggunakan *Internet of Things (IoT)* yang memungkinkan

alat terhubung dengan server dan database melalui koneksi internet [10]. Data kerusakan jalan berupa gambar dan hasil estimasi area akan dibuat menjadi 2 file berupan image dan file .txt yang disimpan pada server cpanel folder hasil deteksi dengan menggunakan File Transfer Protocol (FTP). Pada file .txt terdapat informasi kerusakan jalan diantaranya nama file, nama jalan, segmen, jenis kerusakan, dan data hasil estimasi area kerusakan. Data tersebut akan dikirimkan ke server setiap kali alat selesai melakukan proses pendeteksian pada suatu ruas jalan. Data yang tersimpan pada folder server dapat diperbarui ke database pada tabel baca file menggunakan button refresh data yang terhubung dengan kode program baca file.php. Pada pengujian ini juga dilakukan uji kecepatan pengiriman data dari alat deteksi dengan waktu yang diterima pada server atau database. Hasil pengujian pengiriman data menggunakan IoT ditunjukkan pada gambar 4.

222,26 KB	Hari ini 19.17	image/x-generic	0644	^
104 byte	Hari ini 19.19	text/plain	0644	
223,95 KB	Hari ini 19.22	image/x-generic	0644	
105 byte	Hari ini 19.19	text/plain	0644	
228,27 KB	Hari ini 19.15	image/x-generic	0644	
106 byte	Hari ini 19.19	text/plain	0644	
221,88 KB	Hari ini 19.15	image/x-generic	0644	
106 byte	Hari ini 19.18	text/plain	0644	
223,22 KB	Hari ini 19.17	image/x-generic	0644	
106 byte	Hari ini 19.17	text/plain	0644	
	104 byte 223,95 KB 105 byte 228,27 KB 106 byte 221,88 KB 106 byte 223,22 KB	104 byte Hair in 19.19 223,95 KB Hair in 19.19 223,95 KB Hair in 19.22 105 byte Hair in 19.19 228,27 KB Hair in 19.15 100 byte Hair in 19.15 100 byte Hair in 19.15 105 byte Hair in 19.15 105 byte Hair in 19.16 223,22 KB Hair in 19.17	104 byte Hari ini 19. 19 teotiplain 223,95 KB Hari ini 19.22 imageix-generic 105 byte Hari ini 19.19 teotiplain 228 ZF KB Hari ini 19.15 imageix-generic 106 byte Hari ini 19.15 imageix-generic 221 88 KB Hari ini 19.15 imageix-generic 106 byte Hari ini 19.15 imageix-generic 106 byte Hari ini 19.18 teotiplain	104 byte Harl ini 19.19 textipiain 0044 223,85 KB Harl ini 19.22 imageix-generic 0044 105 byte Harl ini 19.9 textipiain 0044 228,27 KB Harl ini 19.15 imageix-generic 0044 106 byte Harl ini 19.15 imageix-generic 0044 221,85 KB Harl ini 19.15 imageix-generic 0044 106 byte Harl ini 19.15 imageix-generic 0044 106 byte Harl ini 19.18 textipiain 0044 223,22 KB Harl ini 19.18 textipiain 0044

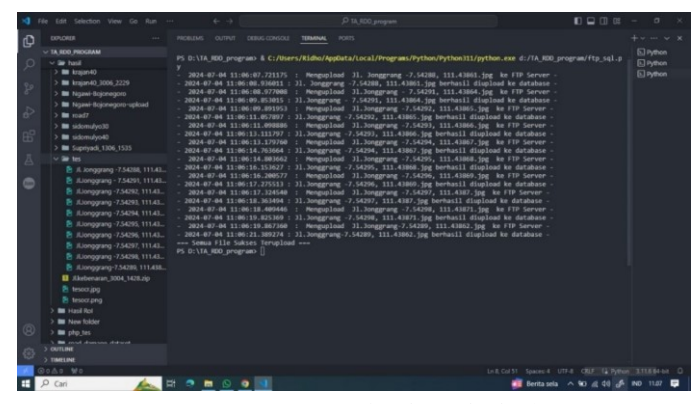
Gambar 4. Pengiriman Gambar dan Data Kerusakan Jalan

Data yang diperbarui pada *database* diambil dari *file* .txt yang ditunjukkan pada Gambar 4. dengan melakukan *split* data agar dapat masuk ke kolom yang sesuai pada tabel *database* menggunakan program baca_*file*.php. Data yang masuk pada tabel terdiri dari nama_*file*, jalan, segmen, jenis kerusakan, panjang, lebar, luas, dan lebar jalan ditunjukkan pada gambar 5.

phpMuAdmin	- Server	location 306	· Databas	e togoligat_lo	cesakanjalas 🔹 📗	Table Same	do .						
20000	☐ Browse	3€ Structu	re 📗 sqL	4 Search	h ji insert	Export .	import import		36 Triggers				
Recent Favorites	+-T-+	gr 1111 -	wid no	nama_file	**************************************	jalan	segmen	label	koordinat	panjang	leber	luas	lebar_jalan
∈ **	□ JEdit	Hi Copy 😊	Delete 950 5.	4 Penggrig	7.611807, 111.513	196 jpg Pengg	ing 0+200	lubang	-7 611807, 111 513696	40.50	47.85	1942.23	200
hisjohgal kerusakanjalan	□ ØEdt	H Copy	Delete 951 5	3 Pengging	7.611813, 111.513	702 jpg Pengg	ing 0+200	lubang	-7.611813, 111.513702	9.57	9.24	88.427	200
(#) (#) analisis	□ ØFdt	H Copy 😊	Detelo 952 5	2 Pangging	7.811913, 111.513	802 jpg Fengg	ing 0+200	lubang	7 611913, 111 513802	29.7	58.08	1724.98	200
the baca file	□ ∂Edit	\$4 Copy 🐞	Delete 963 5	11 Pengging	7.611932, 111.513	121 jpg Pengg	ing 0+200	lubeng	-7 611932, 111 513821	16.5	16.5	272.25	200
(e) (if header_laporan_data	□ ØEat	H Copy	Delete 964 5.	10 Pengging	7.611933, 111.513	122 jpg Fengg	ing 0+200	lubang	-7.611933, 111.513822	18.48	23.76	439.085	200
reset_password	□ ∂ Ede	∯4 Copy 🍵	Detete 965 5.	0 Pungging	7.611934, 111.513	123 jpg Pungg	ing 0+200	lubang	7.611934, 111.513823	16.17	23.1	373.527	200
(0-04 sd	□ ØEdt	H Copy	Delete 956 5.	0 Pengging	7.611935, 111.513	124 jpg Pengg	ing 0+200	lubang	-7.611035, 111.513824	15.84	22.77	360.677	200
R-34 to date	□ /Edt	∰ Copy 🐞	Delete 957 5.	7 Pengging	7.611936, 111.513	125 jpg Pengg	ing 0+200	lubang	-7.611936, 111.513825	15.18	23.43	355.667	200
(E) information_schema	□ JEdit	H Copy O	Delete 958 5.	0 Pengging	7.611937, 111.513	826 jpg Pengg	ing 0+200	lubang	-7 611937, 111 513826	13.2	19.14	252.648	200
	□ / Edt	Hi Copy 🔘	Delete 969 5.	6 Pengging	7.611938, 111.513	127 jpg Pengg	ing 0+200	lubang	-7.611938, 111.513827	14.19	20.13	285.545	200
	O 2100	Hi Copy 🔾	Delete 960 5	M Pangging	7.611939, 111.513	128 pg Pengg	mg 0+200	lubwig	7.611939, 111.513828	13 86	19.8	274.428	200
	□ ØFdt	M Copy 🔘	Delete 961 5	3 Pengging	7.61194, 111.5136	29.jpg Pengg	ing 0+200	lubang	.7 61194, 111 513829	12.21	17.49	213.553	200
	O DEGE	H Copy	Doloto 962 5.	2 Pengging	7.611944, 111.513	833 jpg Forgg	ing 0+200	lubang	-7.611944, 111.513833	11.55	16.5	190.575	200
	□ ØEdt	H Copy 🌚	Delete 963 5.	1 Pangging	7.611949, 111.513	838 jpg Pengg	ing 0+200	Rotak Momanjang	-7.611949, 111.513838	98.01	41.91	4107.6	200
	□ Ø Edt	H Copy	Delete 964 5.	10 Pengging	-7.61195, 111.5138	30.jpg Pengg	ing 0+200	Retak Memanjang	-7.61195, 111.513839	91.41	38.94	3550.5	200
	□ Ø Edit	H Copy 💿	Delete 905 5.	9 Pengging	7.611978, 111.513	867 jpg Pengg	ing 0+200	Retak Kulit Buaya	-7.611978, 111.513867	82.17	73.50	6046.89	200
	□ Ø Edil	H Copy 😅	Delete 905 5.	8 Pengging	7 611985, 111 513	174 jpg Pengg	ing 0+200	Retait Kulil Busys	-7 611985, 111 513874	106.92	108.57	11608.3	200
	□ Ø Edit	H Copy 🐞	Delete 967 5	7 Pengging	7.611996, 111.513	885 jpg Pengg	ing 0+200	Retait Kull Buaya	-7.611996, 111.513885	58.67	82.5	8140.27	200
	□ ØEd£	∰ Copy ⊜	Denete 965 5.	6 Pangging	7.612, 111.513889	pg Fungg	ing 0+200	Retail Kult Busys	7 612, 111 513889	103.62	84.48	8753.82	200
	□ Ø Edi	Ma Copy	Delete 969 5	5 Penggrig	7 812001, 111 513	19 pg Pengg	mg 0+200	Retaik Kuld Busya	7.612001, 111.51389	104 28	85.14	8878.4	200
	□ JEdt	Hi Copy 😊	Delete 970 5.	4 Pengging	7.512002, 111.513	891.jpg Pengg	ing 0+200	Rotak Kulit Buaya	-7.612002, 111.513891	99.66	84.15	8386.39	200
	□ ∂Edt	M Copy o	Delete 971 5.	3 Pangging	7.612003, 111.513	192 jpg Pengg	ing 0+200	Retak Kulit Buaya	-7.612003, 111.513892	125.73	93.06	11700.4	200

Gambar 5. Tabel Data Kerusakan Jalan Pada Database

Kemudian pada pengujian kecepatan pengiriman data dari program deteksi pada *database* dilakukan pengiriman terhadap 10 data secara bersamaan. Hasil pengiriman data dari program deteksi dan *database* akan ditunjukkan pada gambar 5 dan Tabel 1, sehingga dapat diperoleh perbandingan selisih waktu antara data terkirim dan diterima.



p-ISSN: 2541-0288

e-ISSN: 2528-0708

Gambar 6. Durasi Waktu Upload *File* **Tabel 6.** Pengujian Pengiriman Data

No	Waktu Kirim Data	Waktu Data Diterima	Delay (detik)
1	2024-07-04 11:41:29	2024-07-04 11:41:32	3
2	2024-07-04 11:41:32	2024-07-04 11:41:33	1
3	2024-07-04 11:41:33	2024-07-04 11:41:35	2
4	2024-07-04 11:41:35	2024-07-04 11:41:36	1
5	2024-07-04 11:41:37	2024-07-04 11:41:39	2
6	2024-07-04 11:41:40	2024-07-04 11:41:40	0
7	2024-07-04 11:41:41	2024-07-04 11:41:42	1
8	2024-07-04 11:41:42	2024-07-04 11:41:43	1
9	2024-07-04 11:41:44	2024-07-04 11:41:50	6
10	2024-07-04 11:41:51	2024-07-04 11:41:52	1
	Rata – ra	ta	1,8

Berdasarkan hasil pengujian pengiriman data menggunakan File Transfer Protcol (FTP), data kerusakan jalan berupa gambar, dan hasil estimasi area kerusakan jalan akan dikirimkan melalui alat deteksi dan dibuat menjadi 2 file berupa gambar dan file .txt ditunjukkan pada gambar 4. Kemudian data kerusakan jalan pada file .txt dipisahkan oleh program baca file.php dan disimpan pada database pada kolom yang sesuai. Hasil dari proses penyimpanan data kerusakan jalan ditunjukkan pada Gambar 5.Selanjutnya dilakukan proses pengujian kecepatan pengiriman data dari program deteksi pada database yang ditunjukkan pada gambar 6. Berdasarkan hasil pengujian yang ditunjukkan pada Tabel 1, didapatkan rata-rata selisih waktu pengiriman data sebesar 1,8 detik.

B. Pengujian Menganalisis Hasil Estimasi Area Kerusakan Jalan Menggunakan Metode Surface Distress Index (SDI)

Berdasarkan hasil pengujian pengiriman data pada tabel database baca_file, didapatkan hasil estimasi area yang digunakan sebagai acuan analisis kerusakan jalan menggunakan metode Surface Distress Index (SDI). Data hasil estimasi area kerusakan jalan yang terdapat pada database baca_file selanjutnya dikelompokkan dan dijumlahkan menjadi data total retak, rata-rata lebar retak, jumlah lubang dan alur bekas roda berdasarkan nama jalan dan segmen dan disimpan pada tabel database analisis. Hasil dari pengujian analisis hasil estimasi area ditunjukkan pada tabel 7.

Tabel 7. Data Kerusakan Jalan Pada Tabel Analisis

No	Jalan	segmen	total_retak (m)	avg_retak (m)	Lubang	Rutting	luas_segmen (cm)
1	Pengging	0+0	249,644	9,882	5	0	200
2	Pengging	0+100	143,034	8,599	44	0	200

3	Pengging	0+200	90,793	8,650	26	0	200
4	Pengging	0+300	11,469	3,960	2	0	200
5	Pengging	0+400	90,850	9,256	6	0	200
6	Pengging	0+500	70,967	9,226	18	0	200

Data yang telah disederhanakan pada tabel analisis akan diproses menggunakan kode program hitungsdi.php untuk melakukan penilaian dan tipe penganganan kerusakan jalan sesuai dengan Tabel 1 sampai dengan Tabel 5. Pada program hitungsdi.php, data total_retak dihitung dan ditentukan presentase kerusakan, kemudian dilakukan penilaian sdi_a. Selanjutnya data avg_retak akan dihitung dan dilakukan penilaian sdi_b. Selanjutnya data jumlah lubang akan dihitung dan dilakukan penilaian sdi_c. Terakhir data jumlah kerusakan jalan berupa alur bekas roda dihitung dan dilakukan penilaian sdi_d ditunjukkan pada tabel .8

Tabel 8. Data Nilai Indeks SDI

No	Jalan	Sagman	SDI	SDI	SDI	SDI
NO	Jaian	Segmen	A	В	C	D
1	Pengging	0+0	40	80	155	0
2	Pengging	0+100	40	80	95	0
3	Pengging	0+200	40	80	25	0
4	Pengging	0+300	5	10	155	0
5	Pengging	0+400	40	80	155	0
6	Pengging	0+500	40	80	95	0

Data kerusakan jalan pada tabel baca_file akan disederhanakan dan dikelompokkan menggunakan program koorsegmen.php dan disimpan pada tabel analisis menjadi total_retak, avg_retak, jumlah lubang, dan alur bekas roda berdasarkan nama jalan dan segmen.

Berdasarkan data yang telah dikelompokkan dan disimpan pada tabel analisis, data tersebut akan dinilai menggunakan metode *Surface Distress Index (SDI)* yang diimplementasikan pada kode program hitungsdi.php. Hasil perhitungan dari program hitungsdi.php akan masuk pada *database*.

C. Pengujian Deteksi Terhadap Kecepatan Kendaraan

Hasil data SDI (Surface Distress Index) yang telah dihitung melalui program hitungsdi.php, data total retak dihitung dan ditentukan presentase kerusakan, kemudian dilakukan penilaian sdi_a. Selanjutnya data avg_retak akan dihitung dan dilakukan penilaian sdi b. Selanjutnya data jumlah lubang akan dihitung dan dilakukan penilaian sdi c. Terakhir data jumlah kerusakan jalan berupa alur bekas roda dihitung dan dilakukan penilaian sdi d. Hasil dari penilaian sdi a, sdi b, sdi c dan sdi d akan ditotal dan didapatkan nilai indeks. Saat indeks kurang dari 50, maka kondisi baik, saat indeks 50-100, maka kondisi sedang, saat indeks 100-150, maka kondisi jalan rusak ringan, saat indeks lebih dari 150, maka kondisi jalan rusak berat. Hasil penilaian kondisi jalan akan disimpan pada tabel sdi database. Berikut ini merupakan hasil penilaian kondisi jalan menggunakan kode program hitungsdi.php yang ditunjukkan pada tabel 9.

Tabel 9. Tipe Kondisi Kerusakan Jalan

- H											
No	Jalan	Segmen		Si	DI		Indeks	Kondisi			
INO	Jaian	Segmen	A	В	C	D	HIGEKS	Kondisi			
1	Pengging	0+0	40	80	155	0	275	Rusak Berat			

2	Pengging	0+100	40	80	95	0	215	Rusak Berat
3	Pengging	0+200	40	80	25	0	40	Baik
4	Pengging	0+300	5	10	155	0	275	Rusak Berat
5	Pengging	0+400	40	80	155	0	275	Rusak Berat
6	Pengging	0+500	40	80	95	0	215	Rusak Berat

p-ISSN: 2541-0288

e-ISSN: 2528-0708

Selain hasil nilai indeks dari total penilaian sdi_a, sdi_b, sdi_c dan sdi_d akan mendapatkan penilaian kondisi jalan yang berupa baik,sedang,rusak ringan,dan rusak berat. Hasil indeks yang didapat juga dapat digunakan untuk penilaian tipe penanganan kerusakan jalan yang dimana saat indeks kurang dari 50, maka kondisi jalan membutuhkan penanganan rutin, saat indeks 50 – 100 maka kondisi jalan membutuhkan pemeliharaan rutin, saat indeks 100 – 150 maka kondisi jalan membutuhkan pemeliharaan berkala, saat indeks lebih dari 150 maka kondisi jalan membutuhkan peningkatan/rekonstruksi. Berikut ini merupakan hasil tipe penanganan kerusakan jalan yang ditunjukkan tabel 10.

Tabel 10. Tipe Penanganan Kerusakan Jalan

No	Jalan	Segm	SDI				Indeks	Kondisi	Penanga
		en	A	В	С	D	HIUCKS	Kondisi	nan
1	Penggi	0+0	40	80	15	0	275	Rusak	Rekrontr
	ng				5			Berat	uksi
2	Penggi	0+100	40	80	95	0	215	Rusak	Rekrontr
	ng							Berat	uksi
3	Penggi	0+200	40	80	25	0	40	Baik	Rutin
	ng								Kuun
4	Penggi	0+300	5	10	15 5	0	275	Rusak	Rekrontr
	ng							Berat	uksi
5	Penggi	0+400	40	80	15 5	0	275	Rusak	Rekrontr
	ng							Berat	uksi
6	Penggi	0+500	40	80	95	0	215	Rusak	Rekrontr
	ng							Berat	uksi

Berdasarkan data yang telah dikelompokkan dan disimpan pada tabel analisis, data tersebut akan dinilai menggunakan metode *Surface Distress Index (SDI)* yang diimplementasikan pada kode program hitungsdi.php. Hasil dari penilaian tersebut menunjukkan bahwa jika indeks yang didapatkan kurang dari 50, maka kondisi jalan baik dan membutuhkan penanganan rutin. Apabila indeks yang didapatkan 50-100, maka kondisi jalan sedang dan membutuhkan penanganan rutin. Apabila indeks yang didapatkan 100-150, maka kondisi jalan rusak ringan dan membutuhkan penanganan berkala. Apabila indeks yang didapatkan lebih dari 150, maka kondisi jalan rusak berat dan membutuhkan penanganan berupa peningkatan atau rekonstruksi.

IV. KESIMPULAN

Berdasarkan hasil pengujian terhadap sistem analisis kerusakan jalan dengan metode *Surface Distress Index (SDI)*, diperoleh bahwa sistem mampu mengirimkan data kerusakan berupa gambar dan estimasi luas area dari Jetson Nano ke *server cPanel* menggunakan protokol *FTP* setiap kali proses pendeteksian pada satu ruas jalan selesai dilakukan. Data tersebut terdiri dari *file* gambar dan *file*(.txt) yang berisi informasi lengkap mengenai kerusakan yang terdeteksi, dan proses pengiriman membutuhkan waktu sekitar 1,8 detik untuk sepuluh data uji, tergantung pada kestabilan koneksi jaringan internet yang digunakan. Estimasi luas kerusakan jalan yang diperoleh dikelompokkan ke dalam tiga parameter, yaitu total

luas, rata-rata luas, dan jumlah lubang, lalu disimpan dalam database untuk dianalisis menggunakan metode *SDI* yang menghasilkan nilai sdi_a, sdi_b, sdi_c, dan sdi_d sebagai indikator kondisi kerusakan. Hasil analisis nilai SDI tersebut digunakan untuk menentukan indeks jenis penanganan jalan, di mana jika nilai indeks kurang dari 50 menunjukkan kondisi jalan yang baik dan hanya memerlukan penanganan rutin, indeks antara 50 hingga 100 menunjukkan kondisi sedang dan tetap memerlukan penanganan rutin, nilai antara 100 hingga 150 mengindikasikan kondisi rusak ringan yang memerlukan penanganan secara berkala, sedangkan nilai di atas 150 menunjukkan kondisi rusak berat yang membutuhkan penanganan lanjutan berupa peningkatan kualitas jalan atau rekonstruksi.

DAFTAR PUSTAKA

- [1] Kepolisian Negara Republik Indonesia, "Data Kecelakaan Lalu Lintas di Wilayah Hukum Polda Metro Jaya," 2023.
- [2] M. Bosi, A. D. Boccignone, dan G. Fornaciai, "Pothole detection using inertial measurement unit sensors," International Journal of Pavement Engineering, vol. 20, no. 7, pp. 675–684, 2019
- [3] Y. Liu, J. Guo, dan X. Zhang, "Deep learning-based pothole detection from road images," IEEE Access, vol. 8, pp. 43207–43214, 2020.
- [4] W. Winarta, I. D. Purnomo, dan S. Prasetyo, "Development of road damage information system for

monitoring infrastructure," Journal of Infrastructure Systems, vol. 27, no. 2, pp. 115–124, 2021.

p-ISSN: 2541-0288

e-ISSN: 2528-0708

- [5] N. Rofi'ah, "Pengembangan sistem monitoring kerusakan jalan berbasis mobile GIS," Jurnal Teknik Sipil dan Perencanaan, vol. 23, no. 3, pp. 211–220, 2021.
- [6] R. Rachmawati, "Penerapan metode image processing untuk deteksi kerusakan jalan," Jurnal Teknologi Informasi dan Komunikasi, vol. 10, no. 2, pp. 45–52, 2022.
- [7] M. Muhaimin, S. A. Nugraha, dan L. Hidayat, "Road surface condition assessment using Surface Distress Index (SDI) method," Journal of Civil Engineering Research, vol. 12, no. 1, pp. 33–40, 2023.
- [8] S. B. Setyawan, H. Arrosida, A. Elhakim, D. Shahab, dan E. P. Nugroho, "Realtime road damage detection using transfer learning with Nvidia Jetson Nano," AIP Conference Proceedings, vol. 3145, no. 1, p. 020006, Jul. 2024, doi: 10.1063/5.0212345.
- [9] Direktorat Jenderal Bina Marga, Panduan Survei Kondisi Jalan SMD-03/RCS, Jakarta: Kementerian PUPR, 2011
- [10] A. Malik, R. Pratama, dan F. Yuliani, "IoT-based data transmission for road damage detection system," International Journal of Advanced Computer Science and Applications (IJACSA), vol. 12, no. 5, pp. 223–229, 2021Al Faritzie, H., Firda, A., dan Aprilyanti, S. (2022). Identifikasi dan Analisis Kerusakan Jalan pada Ruas Jalan Siaran Sako Kota Palembang. Bearing: Jurnal Penelitian dan Kajian Teknik Sipil. 3(4): 223.